

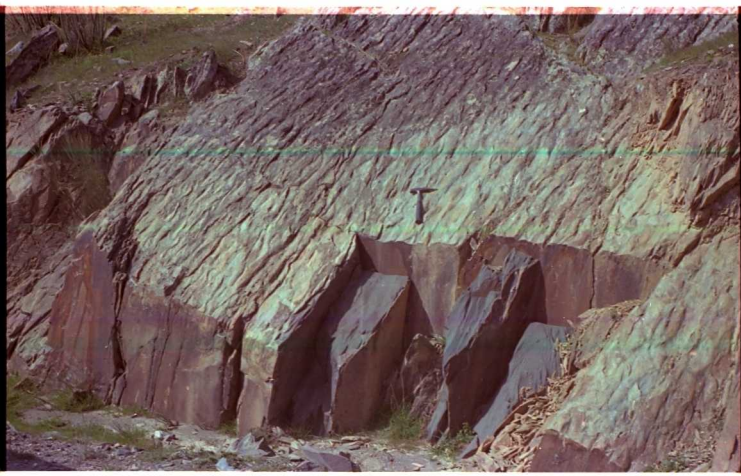


13-27-IB-9601-FN.- Fenocristales orientados en la facies de borde del batolito de Trujillo (2).

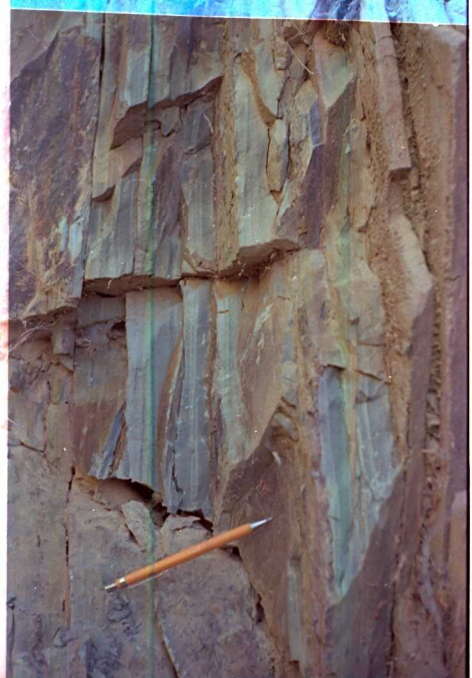
DB/FN  
9601

























13-27-IB-9612-FN.- Facies muy laminadas (interestratificadas de lutita-limolita) (¿Tidal-bedding?). Precámbrico. Unidad Superior (6).

13-IB/FN  
9612

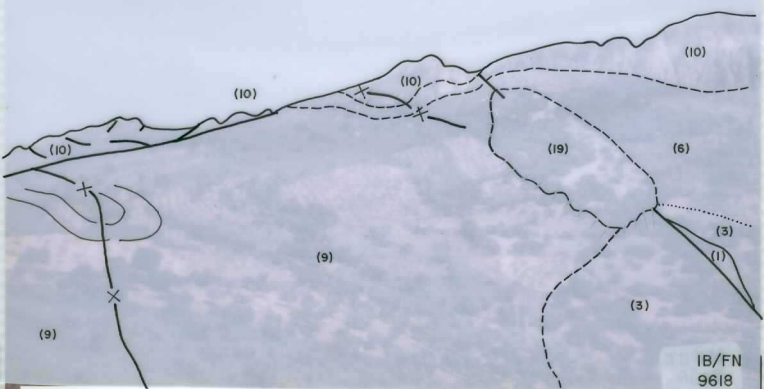












13-27-IB-9618-FN.- Cierre sinclinal de areniscas y cuarcitas cámbricas (9) por debajo de -- los niveles de cuarcitas ordovícicas discordantes (10) al Este de Retamosa.

IB/FN  
9618





13-27-IB-9619-FN.- Aspecto "abotonado" en limolítas del cámbrico (9) debido a la intensa bioturbación por skolithas.

JB/FN  
9619

IB/FN  
9620



13-27-IB-9620-FN.- Laminación cruzada en surco  
(Through bed cross-bedding) cuarcitas y  
areniscas cámbricas (9).









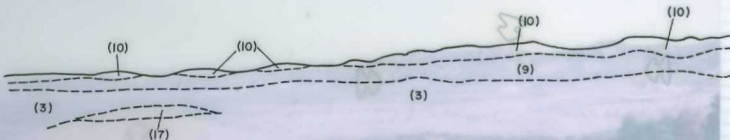




IB/FN  
9627



13-27-IB-9627-FN.- Perfil de raña (16) en la parte superior (30 cm de pot.) de granulometría más fina y color rojizo correspondiente al "garbancillo".



IB/FN  
9628

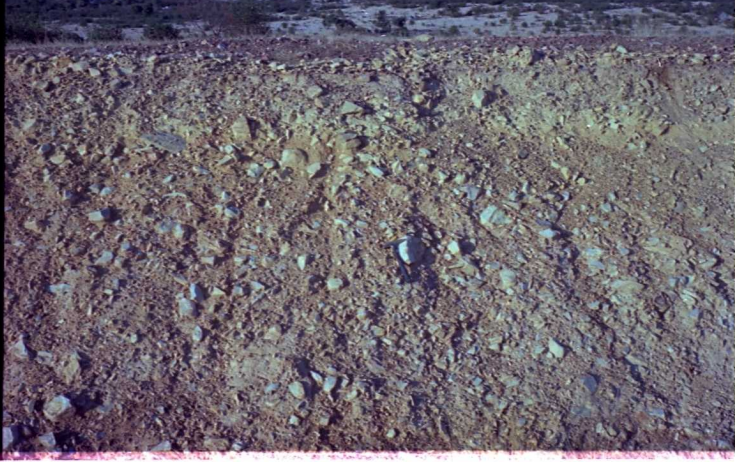
13-27-IB-9628-FN.- Restos de terraza parcialmente desmantelada (17) sobre la penillanura precámbrica, al fondo y culminando las "cuarcitas armoricanas (10) del flanco SW. del Sinclinal de Sta Lucia, por debajo, parcialmente recubiertos las areniscas cámbricas - (9).



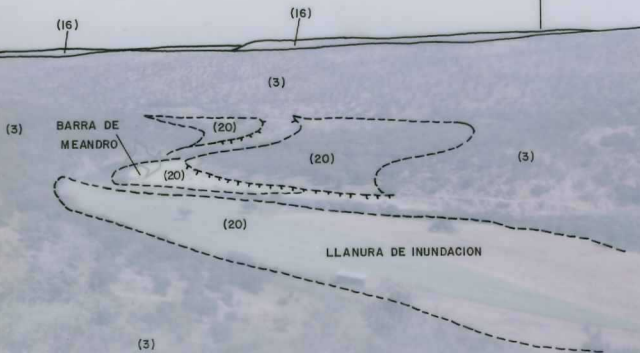
IB/FN  
9629

T

13-27-IB-9629-FN.- Perfil de los depósitos  
de glacia (18).



Pto. DE MIRAVETE



IB/FN  
9631

13-27-IB-9631-FN.- Depósitos aluviales (20) del río Almonte; La llanura de iundación con depósitos limosos se cultiva, los materiales más recientes de barra de meandro con cantos y arenas destacan por su color blanco. En la penillanura, al fondo a cota más alta el perfil de las rañas.



T





13-27-IB-9634-FN.- Pliegues asímetricos de -  
flanco en alternancias de pizarras y grauva-  
cas (3) al E. de Deleitosa, indicando una es-  
tructura sinclinal mayor a la derecha.

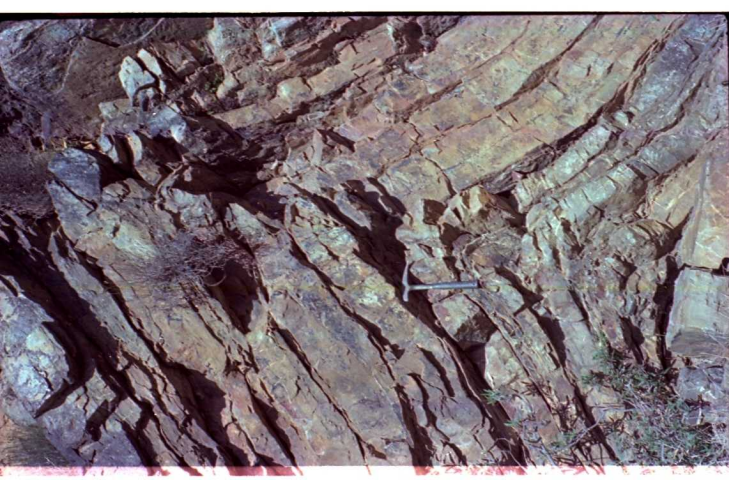


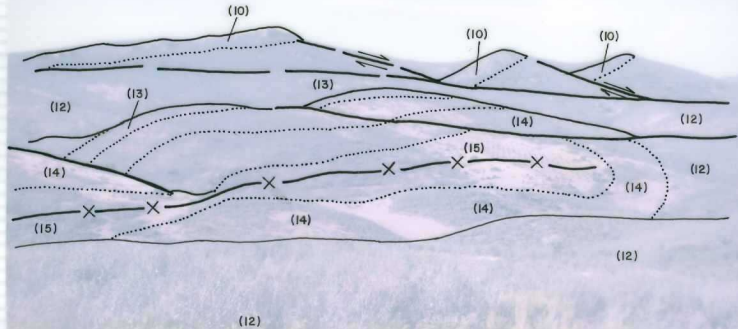






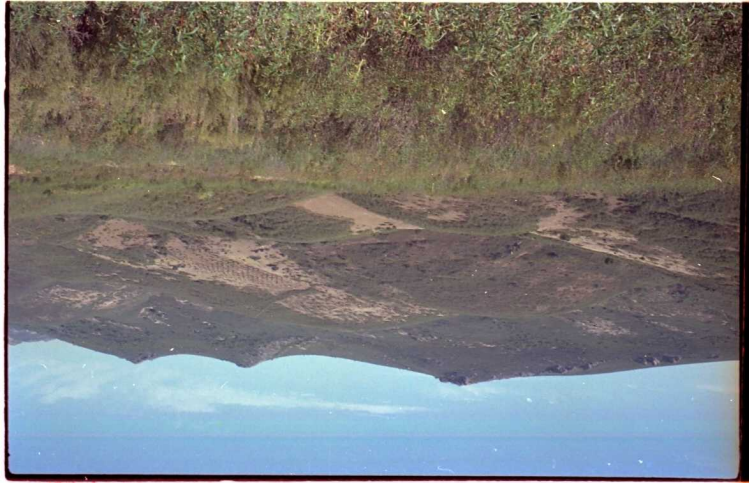
13-27-IB-9638-FN.- Cuarcitas del Caradoc (14); pliegue casi isopaco donde se observa la disarmonia progresiva, resolviéndose el pliegue mediante fractura de charnela hacia la parte superior y central del pliegue.





13-27-IB-9639-FN.- Cierre periclinal a nivel de cuarcitas del Caradoc (14) en el sinclinal de Sta Lucía; al fondo las cuarcitas armoricanas (10) del flanco SW. desplazadas por fracturas.

IB/FN  
9639













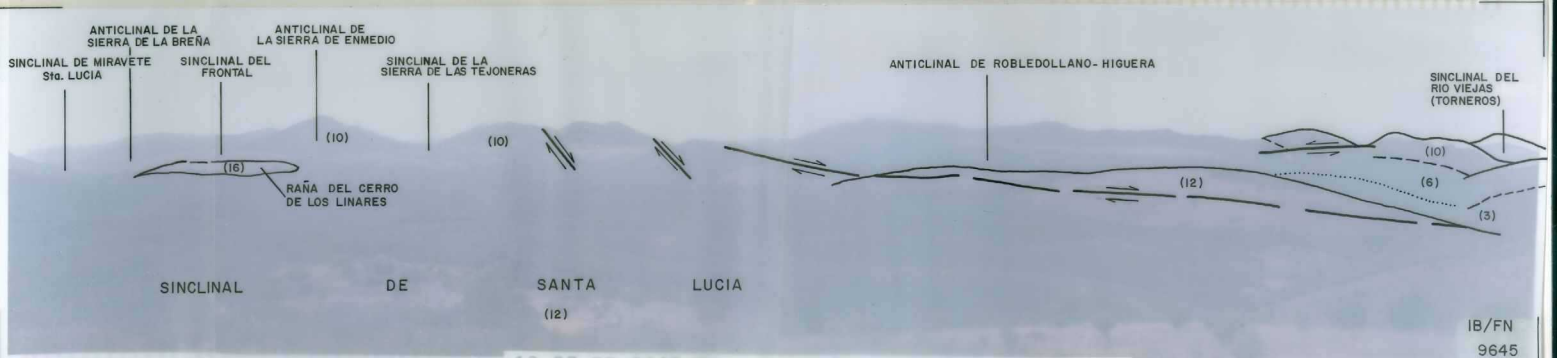












13-27-IB-9645-FN.- Panorámica de las terminaciones pericliniales del calizero NW. del Sinclinal de Sta Lucía; a la dcha. el anticlinal de Robledollano.

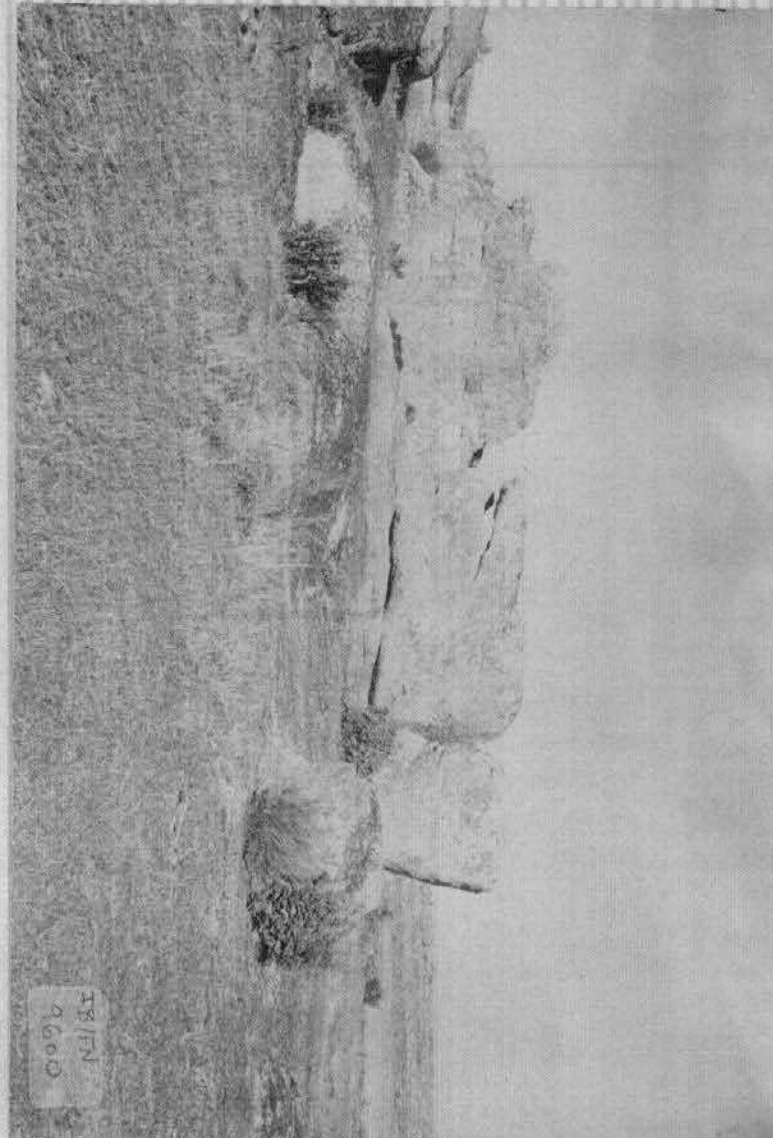
IB/FN

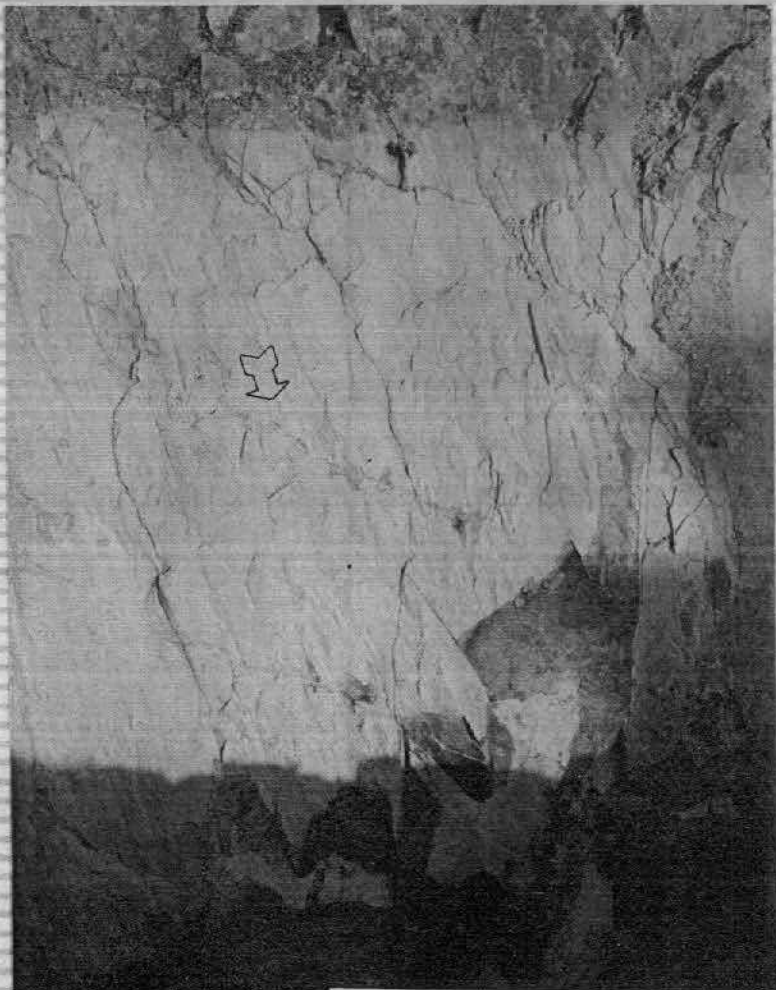
9645

13-27-IB-9601-FN.- Fenocristales orientados en la facies de borde del batolito de Trujillo (2).

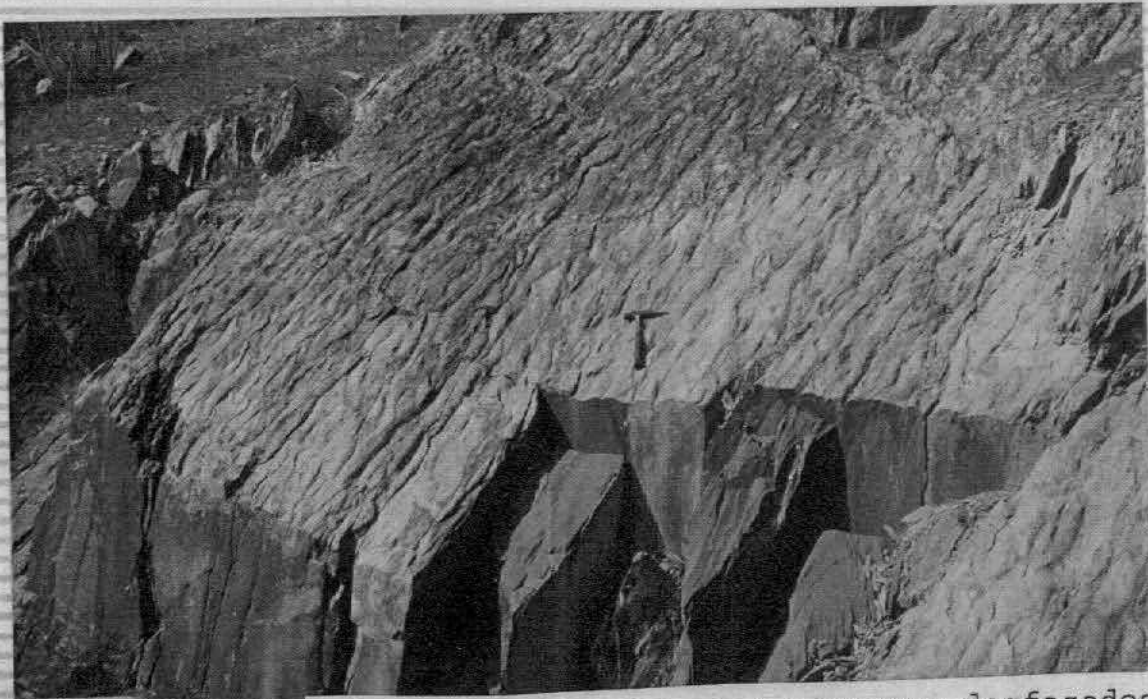


13-27-IB-9600-FN.- Berrocal en el granito de Trujillo (2).

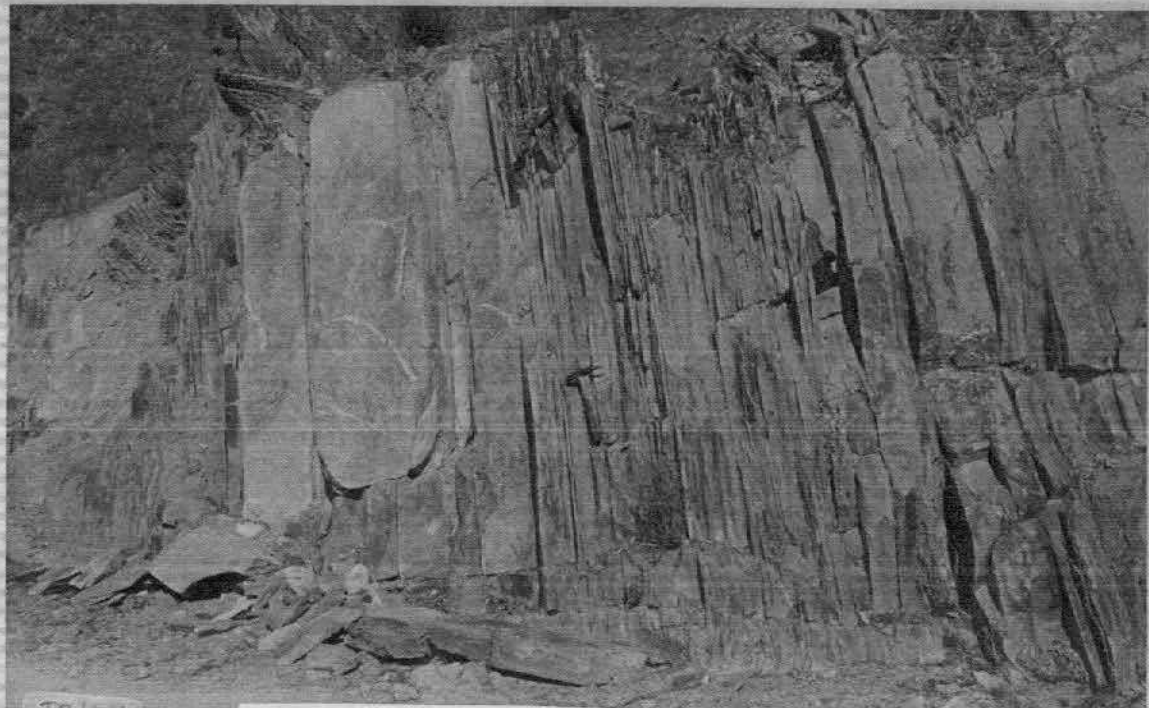




13-27-IB-9602-FN.- Flute cast poco desarrollados (muy planos) en el muro de una capa de arenisca grauváquica invertida. Precámbrico, Unidad Inferior (3).



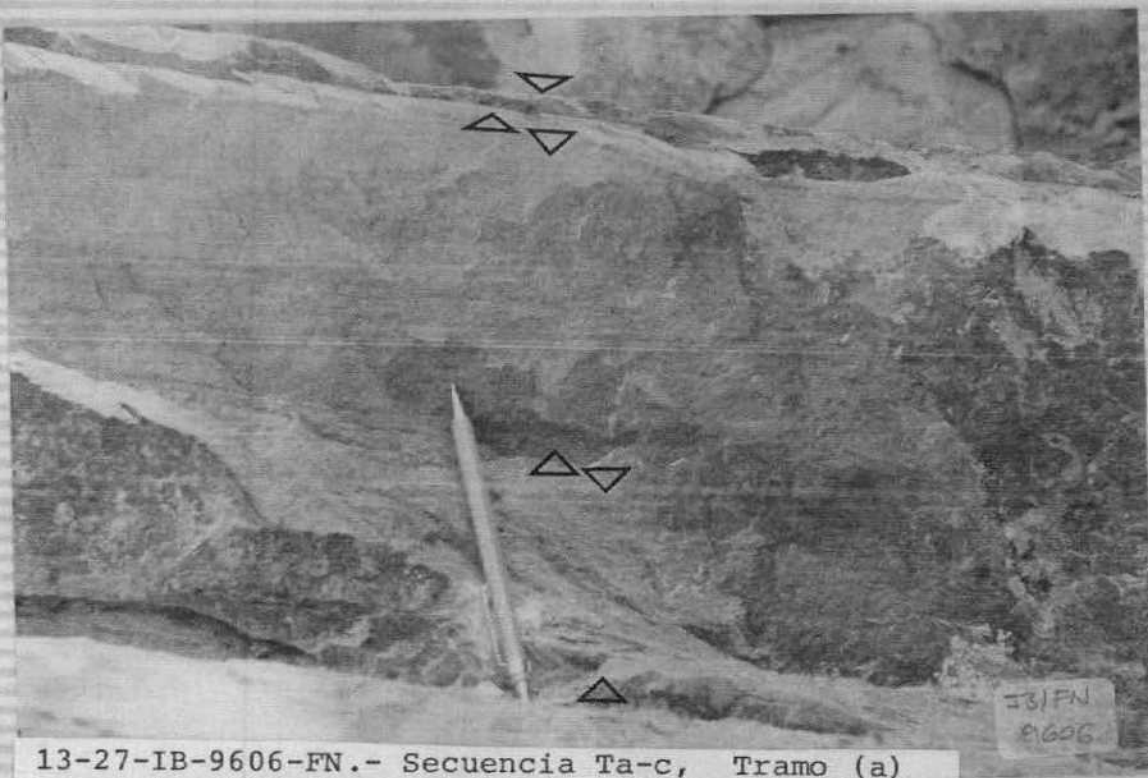
13-27-IB-9603.- Ripples sinuosos desfasados a techo de una potente capa de grauvaca. Precámbrico, Unidad Inferior (3).



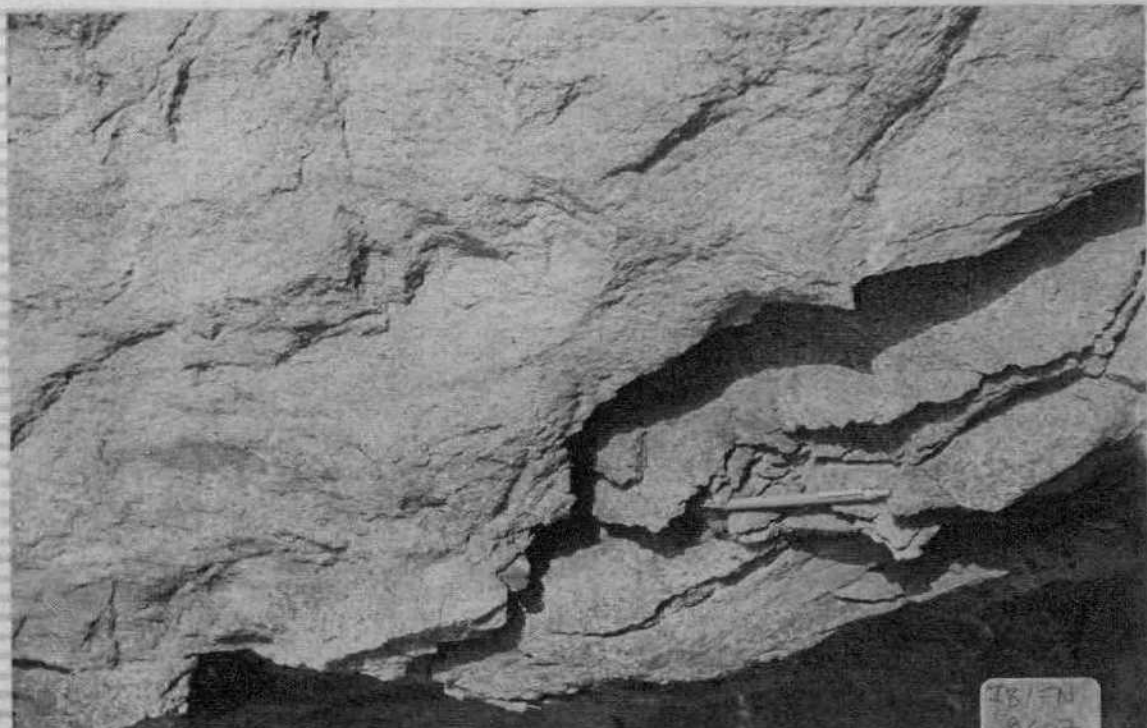
13-27-IB-9604-FN.- Alternancias de capas de -- areniscas grauvaquicas de distinta potencia -- (Ta-b, Ta-c) con finos niveles de limolitas -- (Tc-e, Td-e); Facies D y E. Precámbrico , Uni- dad Inferior (3).



13-27-IB-9605-FN.- Detalle de las facies lami- nadas, los niveles más claros corresponden a - la granulometría más gruesa. Precámbrico, Uni- dad Inferior. (3).



13-27-IB-9606-FN.- Secuencia Ta-c, Tramo (a) granoclasificado en el lapiz, (b) laminación paralela y (c) de ripples muy poco desarrollada. Precámbrico, Unidad Inferior (3).



13-27-IB-9607-FN.- Arenisca grauvaquica micro-conglomerática, con cantos blandos (pizarra -- gris-verdosa) a techo del tramo (a). Precámbrico, Unidad Inferior (3).



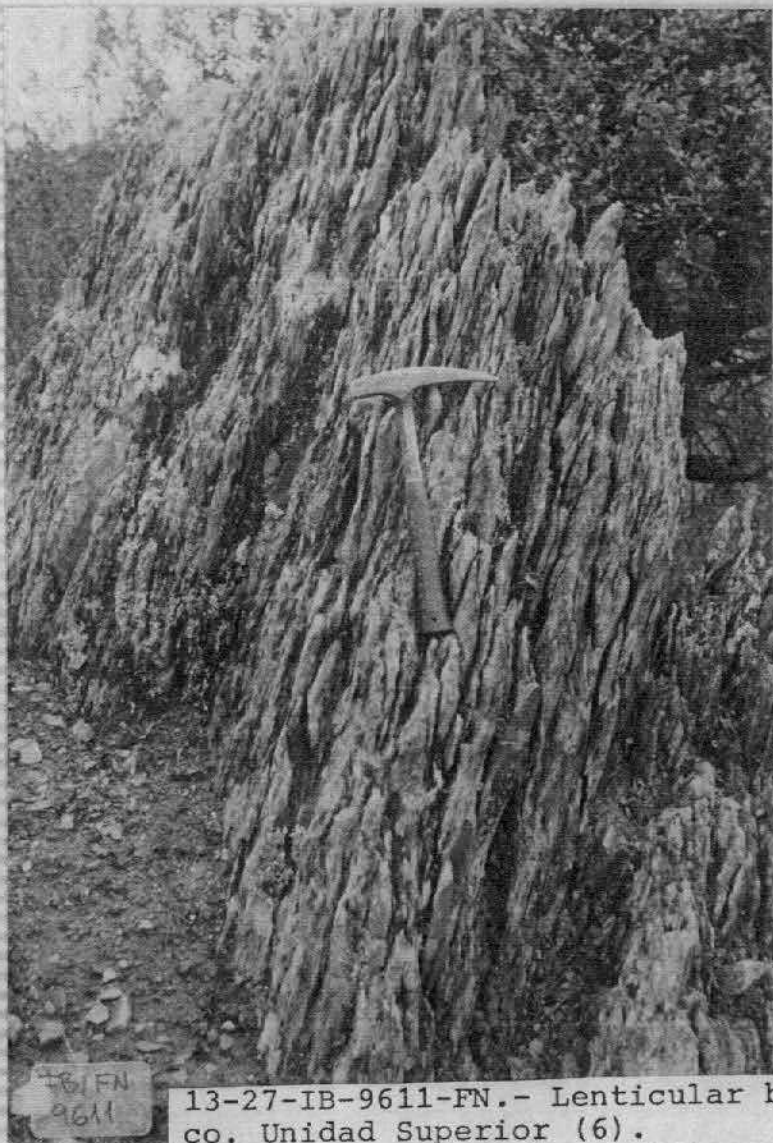
13-27-IB-9609-FN.- Aspecto de los afloramientos de los niveles conglomeráticos (5) del Precámbrico. Unidad Inferior.



13-27-IB-9608-FN.- Limolitas laminadas con espesuras intercalaciones de grauvacas (Facies D). Precámbrico. Unidad Inferior (3).



13-27-IB-9610-FN.- Detalle en "fresco" de otro nivel conglomerático (5) donde se diferencian claramente los cantos de lidita, cuarzo y grauvaca; en éste caso la matriz es bastante escasa. Precámbrico. Unidad Inferior.

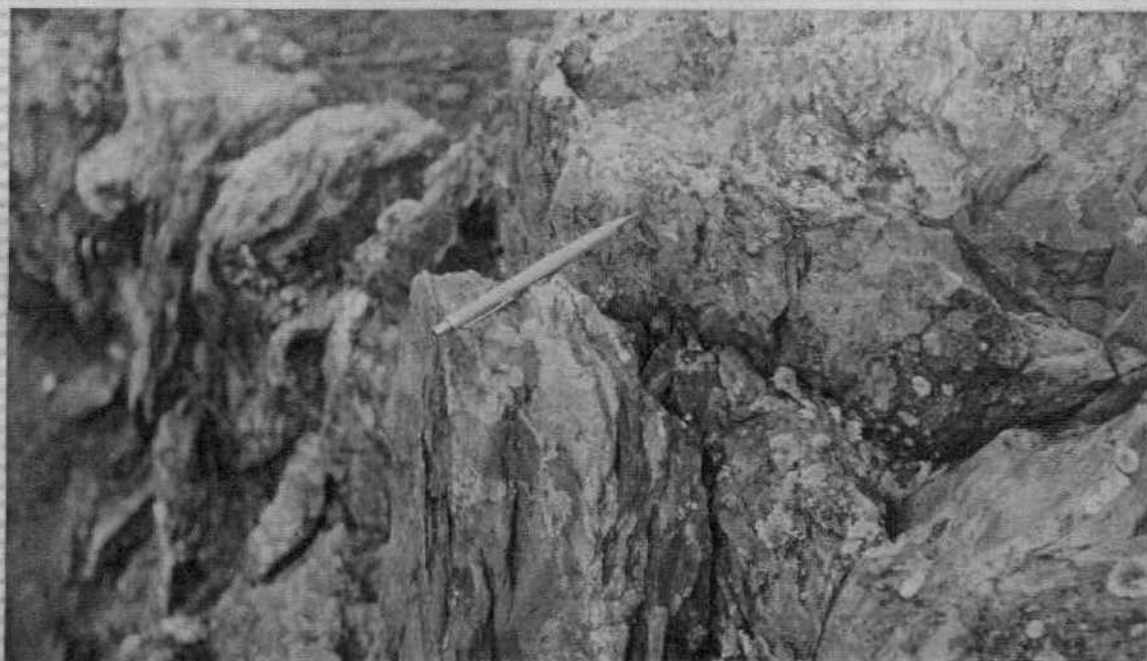


13-27-IB-9611-FN.- Lenticular bedding. Precámbrico. Unidad Superior (6).



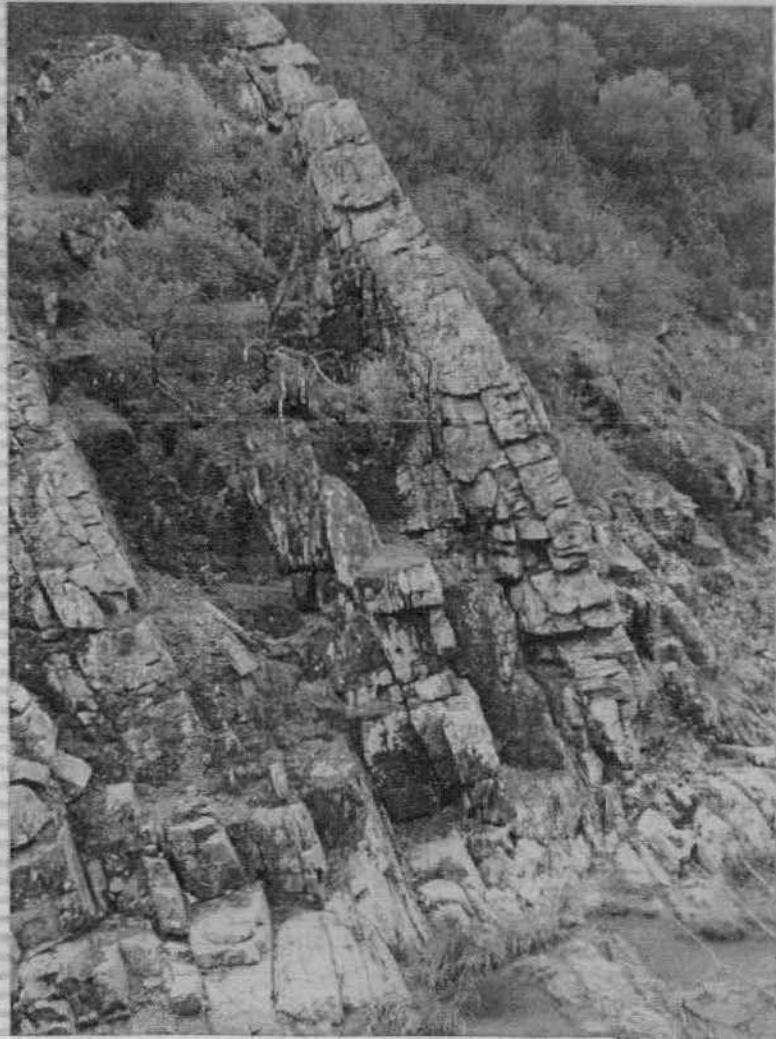
13-27-IB-9612-FN.- Facies muy laminadas (inter-estratificadas de lutita-limolita) (¿Tidal-bedding?). Precámbrico. Unidad Superior (6).

IB/FN  
9612



IB/FN  
9613

13-27-IB-9613-FN.- Cantos de Pizarra en el muro de los niveles de areniscas y micro-conglomerados (7) (depósito de lag.). Precámbrico. Unidad Superior.

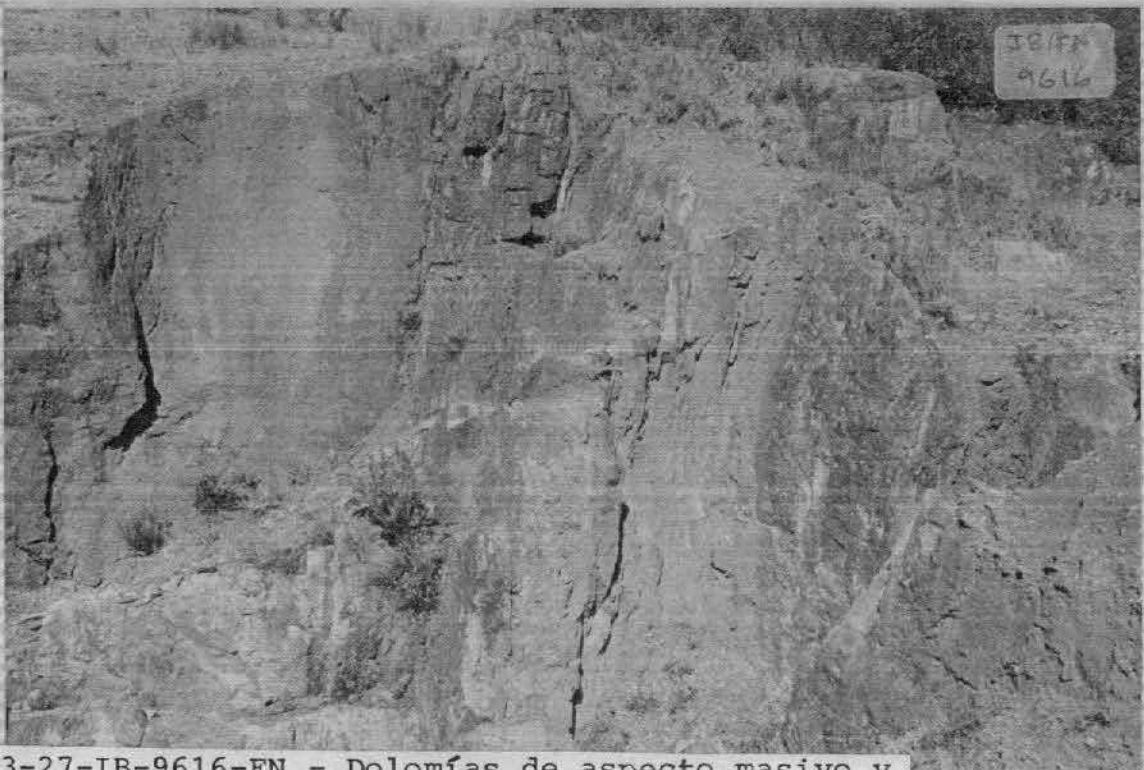


13-27-IB-9615-FN.- Afloramientos de areniscas - micro-conglomeráticas (7) intercaladas en la Unidad Superior (6). La esquistosidad muy patente, buza más que la estratificación, indicando sinclinal hacia la derecha. Precámbrico. Unidad Superior.

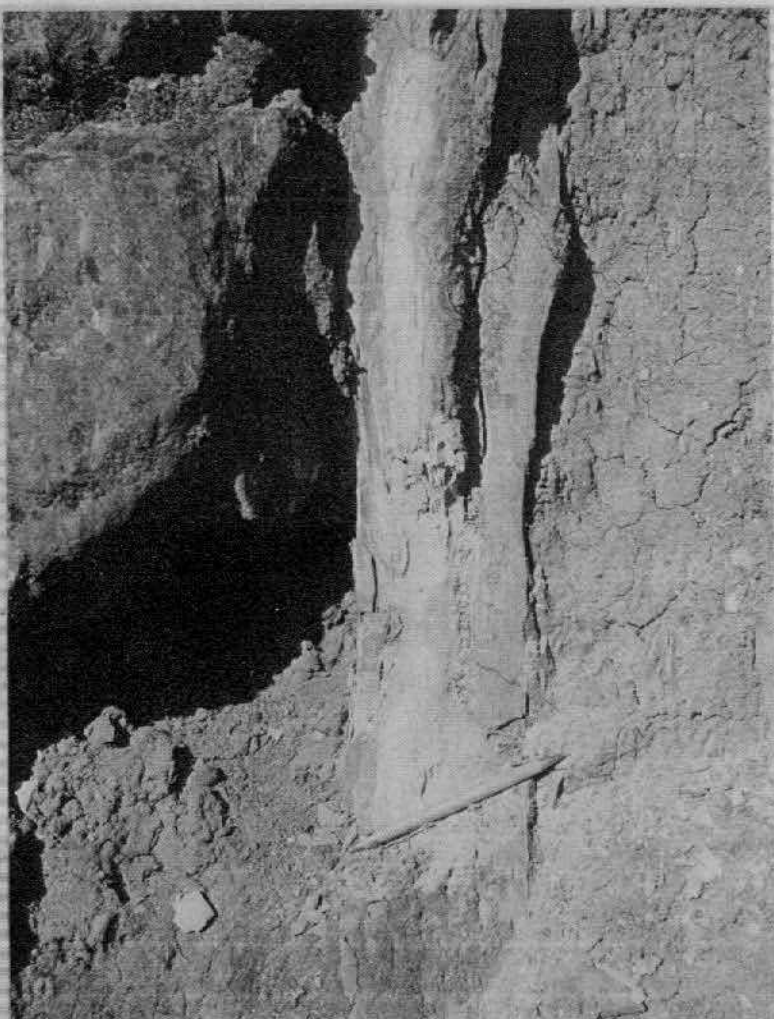


IB/FN  
9614

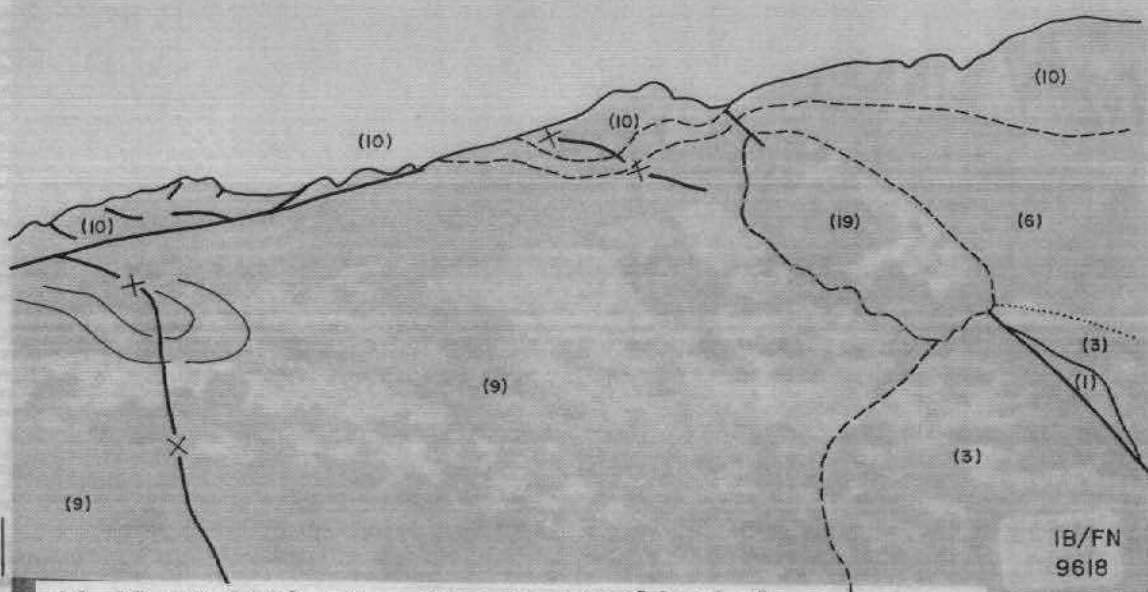
13-27-IB-9614-FN.- Micro-conglemerados (7) con finos cantos de lutitas ("chips"). Precámbrico. Unidad Superior.



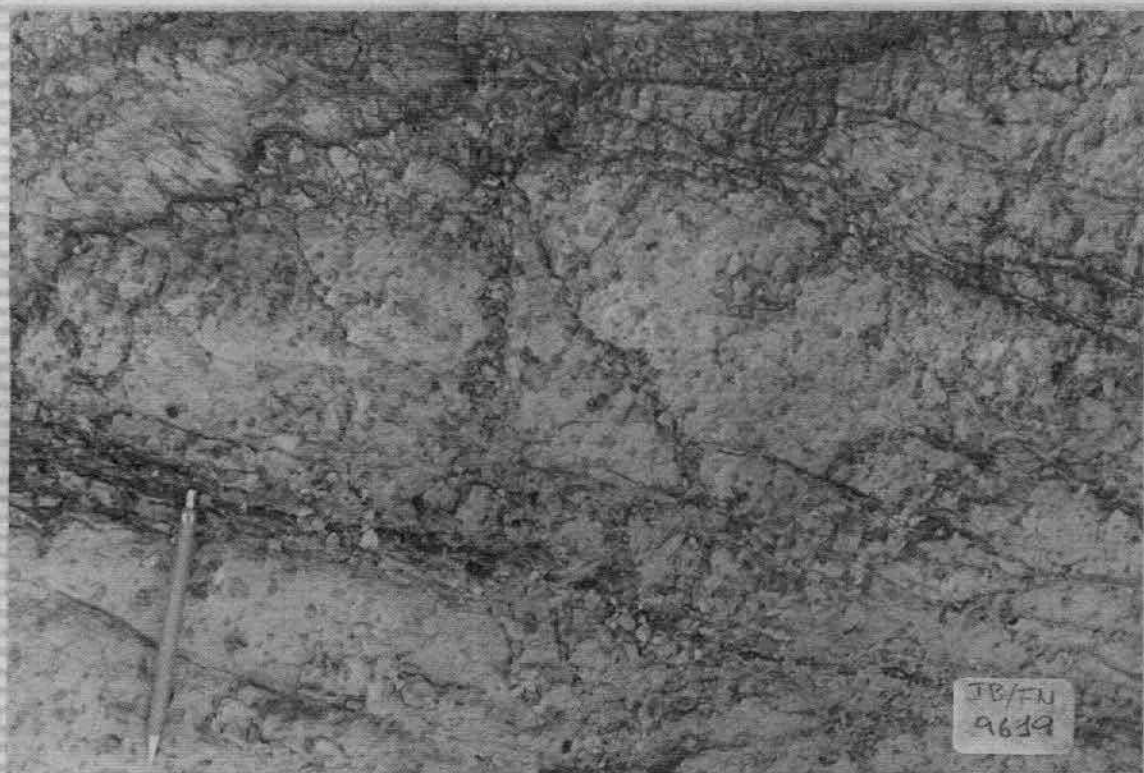
13-27-IB-9616-FN.- Dolomías de aspecto masivo y calcoesquistos laminados (8). Precámbrico. Unidad Superior.



13-27-IB-9617-FN.- Detalle de los niveles de -- calcoesquistos laminados (8) con la alteración arcillosa típica. Precámbrico. Unidad Superior.



13-27-IB-9618-FN.- Cierre sinclinal de areniscas y cuarcitas cámbicas (9) por debajo de -- los niveles de cuarcitas ordovícicas discordantes (10) al Este de Retamosa.



13-27-IB-9619-FN.- Aspecto "abotonado" en limolítas del cámbrico (9) debido a la intensa bioturbación por skolithos.

13-27-IB-9621-FN.- Resalte en "risco" del potente paquete de cuarcita armoricana (10) Ordovíci co inferior.



13-27-IB-9620-FN.- Laminación cruzada en surco (Through a festoon cross-bedding) cuarcitas y areniscas cámbicas (9).





13-27-IB-9622-FN.- Bioturbación superficial en los niveles cuarcíticos de las alternancias superiores (11) Ordovícico Inferior.



13-27-IB-9623-FN.- Bioturbación (*Daedalus*) en capas cuarcíticas de las alternancias superiores. (11) Ordovícico Inferior.



13-27-IB-9624-FN.- Aspecto de las pizarras del - Llanvirn -Llandeilo (12) parcialmente alteradas.

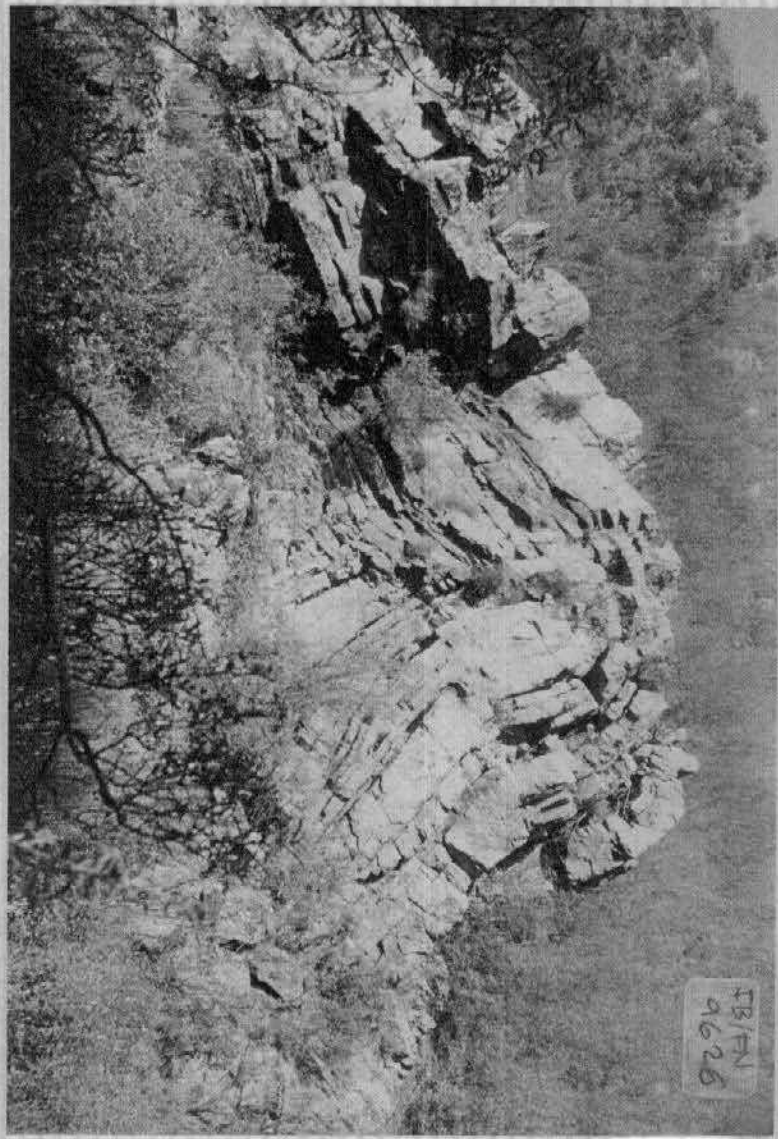


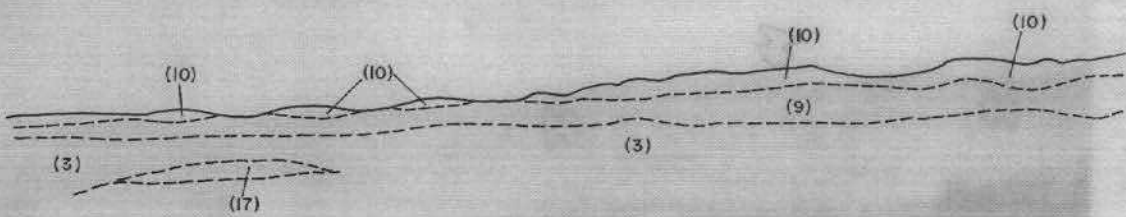
13-27-IB-9625-FN.- Intercalaciones de areniscas y cuarcitas (13) con estructura en Sand-waves en las pizarras del Llanvirn - Llandeilo.

13-27-IB-9627-FN.- Perfil de rana (16) en la parte superior (30 cm de pot.) de granulometría más fina y color rojizo correspondiente al "garbancillo".



13-27-IB-9626-FN.- Paquete de "cuarcitas y areniscas pardas" (14) del Caradoc plegadas.



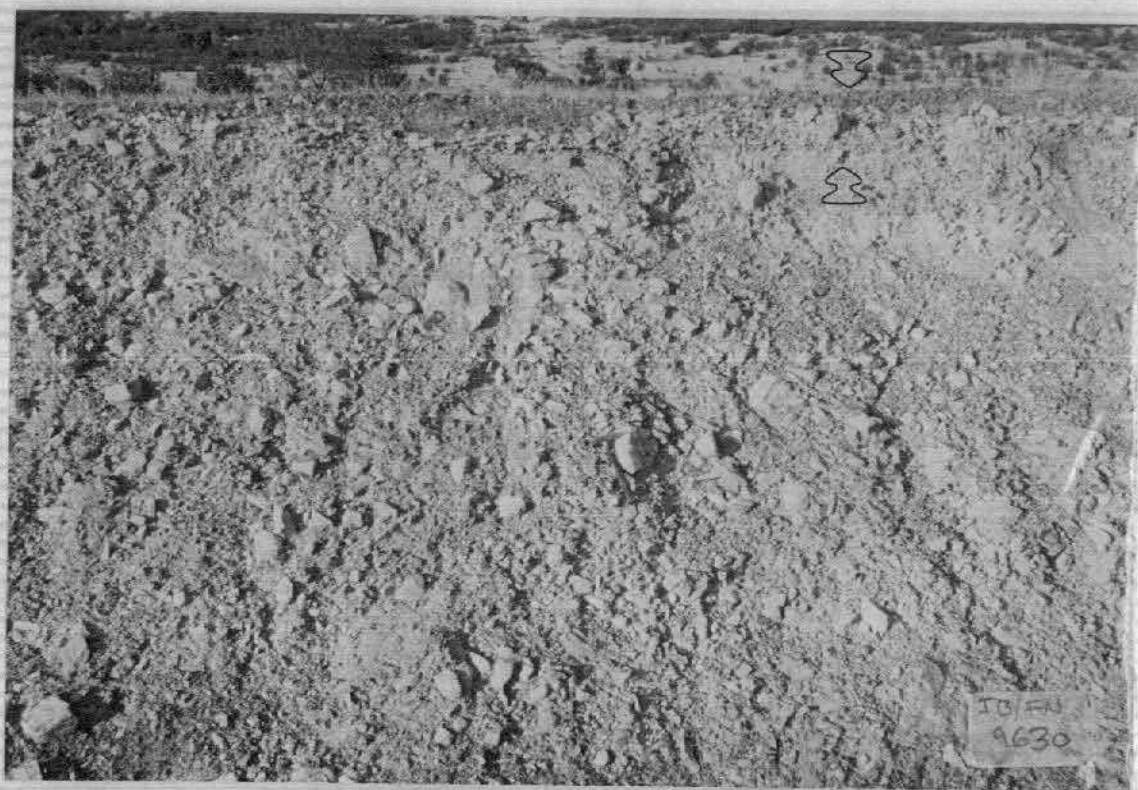


IB/FN  
9628

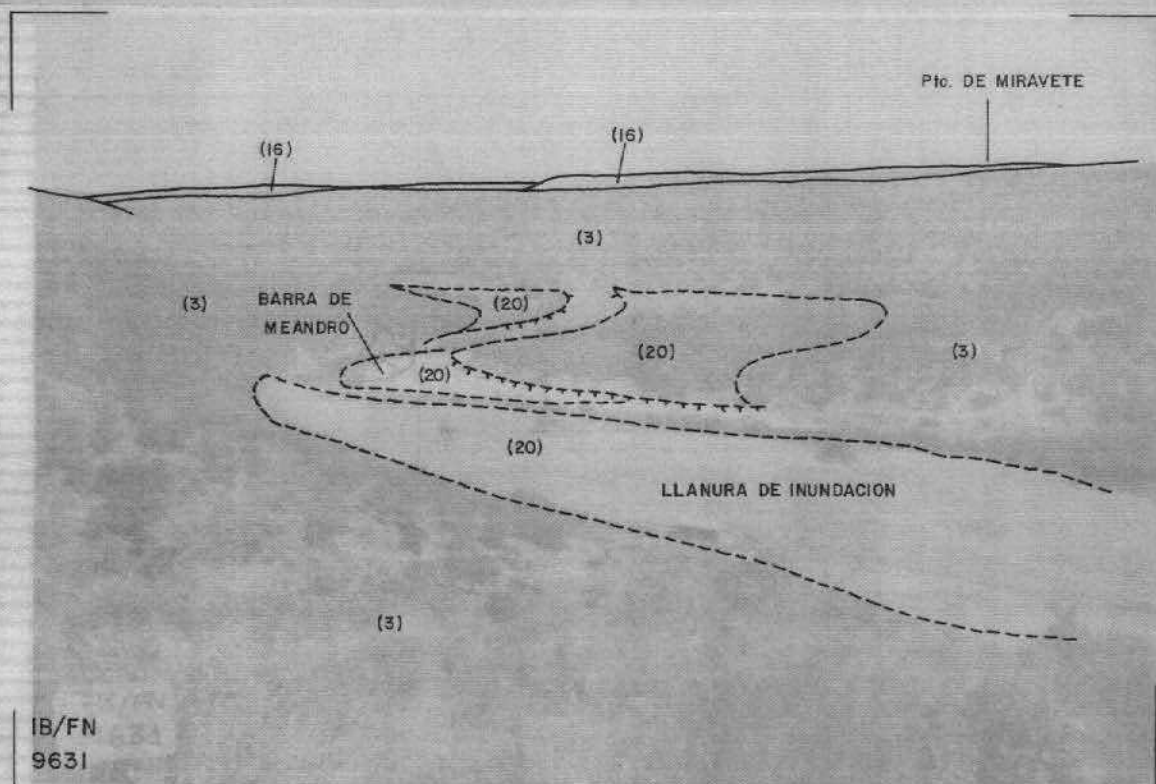
13-27-IB-9628-FN.- Restos de terraza parcialmente desmantelada (17) sobre la penillanura precámbrica, al fondo y culminando las "cuarcitas armoricanas (10) del flanco SW. del -- Sinclinal de Sta Lucia, por debajo, parcialmente recubiertos las areniscas cámbricas - (9).



13-27-IB-9629-FN.- Perfil de los depósitos de glacis (18).



13-27-IB-9630-FN.- Perfil de los depósitos de coluvión "antiguos" (19) que enlazan con los depósitos de raña. En la parte superior y con muy poco desarrollo (10 cm.) el "garbancillo".



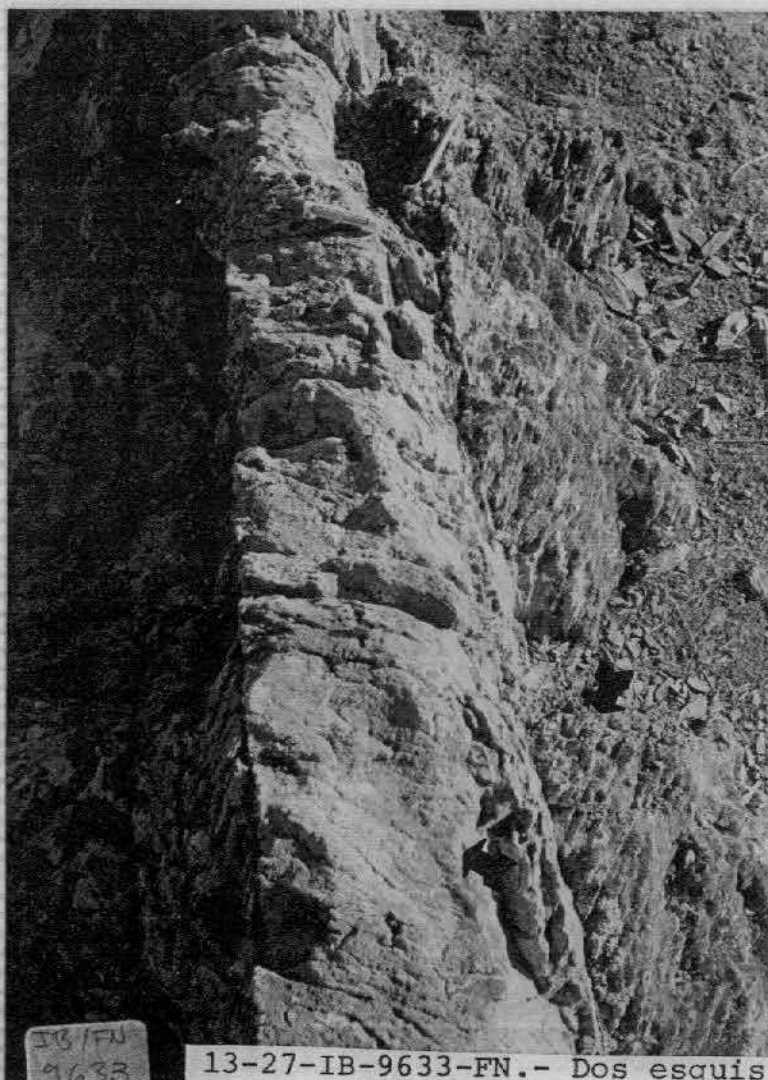
IB/FN  
9631

13-27-IB-9631-FN.- Depósitos aluviales (20) del río Almonte; La llanura de inundación con depósitos limosos se cultiva, los materiales más recientes de barra de meandro con cantos y arenas destacan por su color blanco. En la penillanura, al fondo a cota más alta el perfil de las rañas.



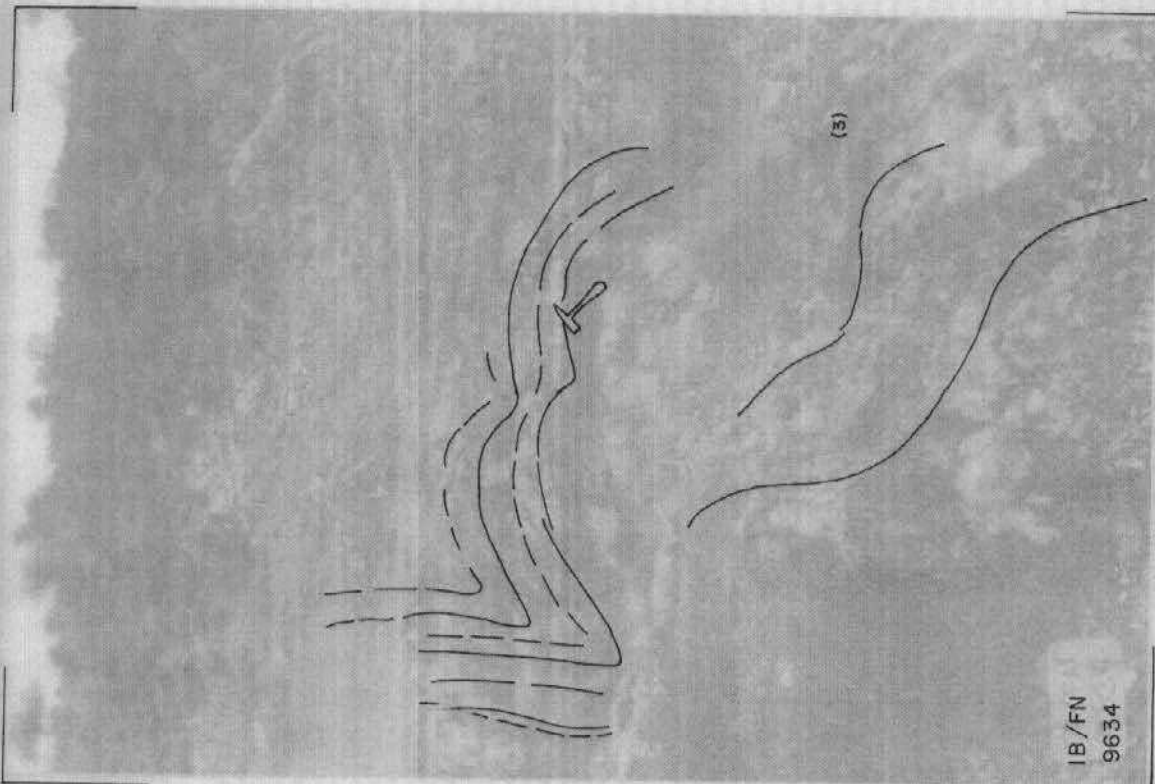
13-27-IB-9632-FN- Relaciones entre estratificación y esquistosidad en pizarras de la Unidad Inferior (3).

IB/FU  
9632

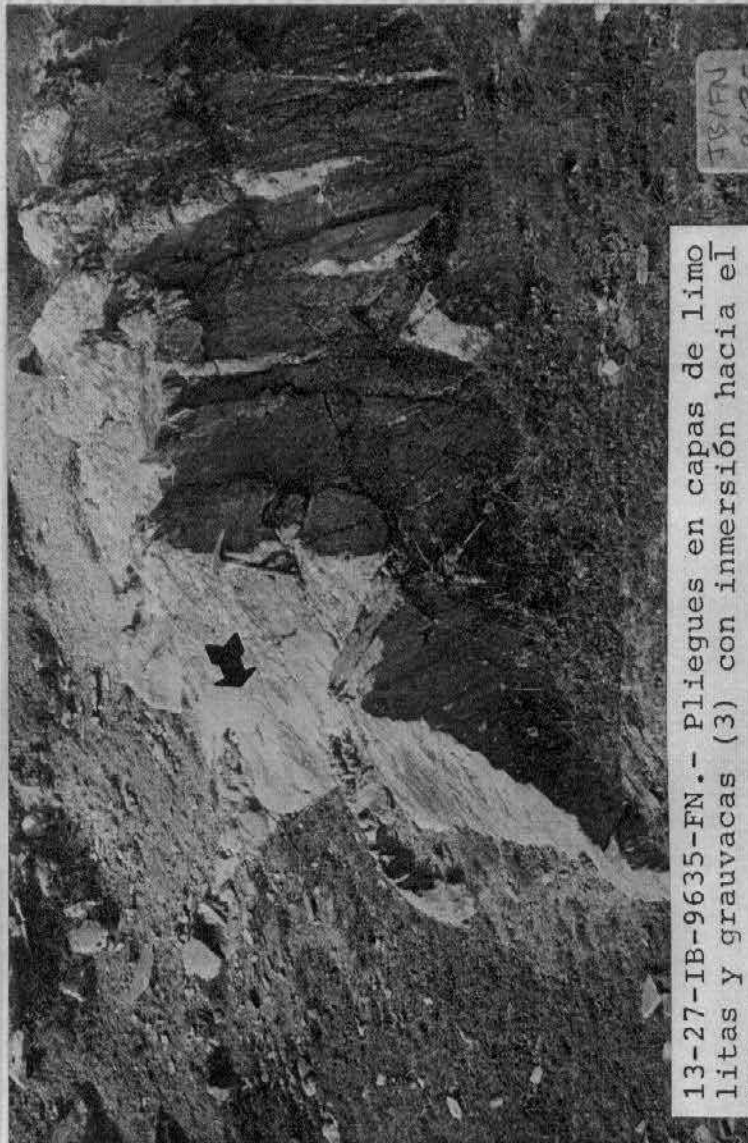


IB/FU  
9633

13-27-IB-9633-FN.- Dos esquistosidades ortogonales, la que afecta al banco grauvaquico más competente  $S_1$ , (precámbrica) la que afecta a las pizarras  $S_1$ . (Hercínica).



13-27-IB-9634-FN.- Pliegues asimetricos de flanco en alternancias de pizarras Y grauvacas (3) al E. de Deleitosa, indicando una estructura sinclinal mayor a la derecha.



13-27-IB-9635-FN.- Pliegues en capas de limo litas Y grauvacas (3) con inmersión hacia el Sur.

13-27-IB-9637-FN.- Pliegues simétricos (estratificación ondulada) de eje vertical, pueden corresponder a pliegues menores en zona de -- charnela de una estructura mayor.

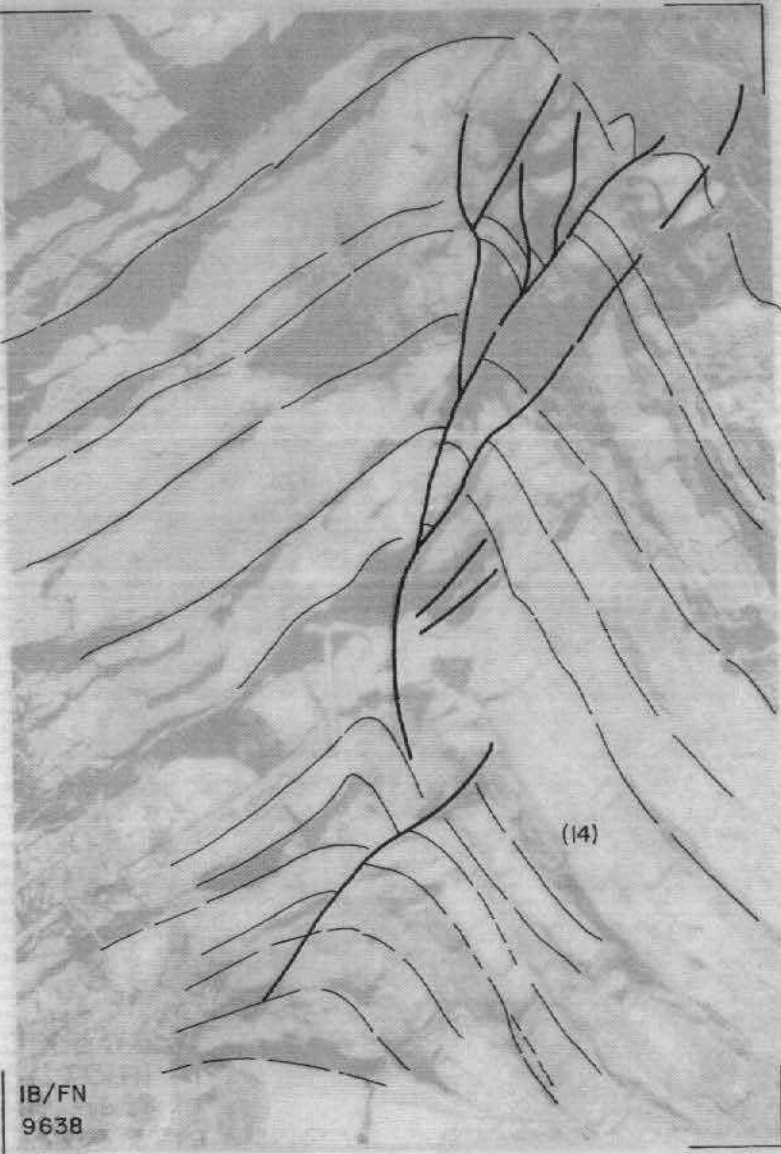


13-IB  
9637

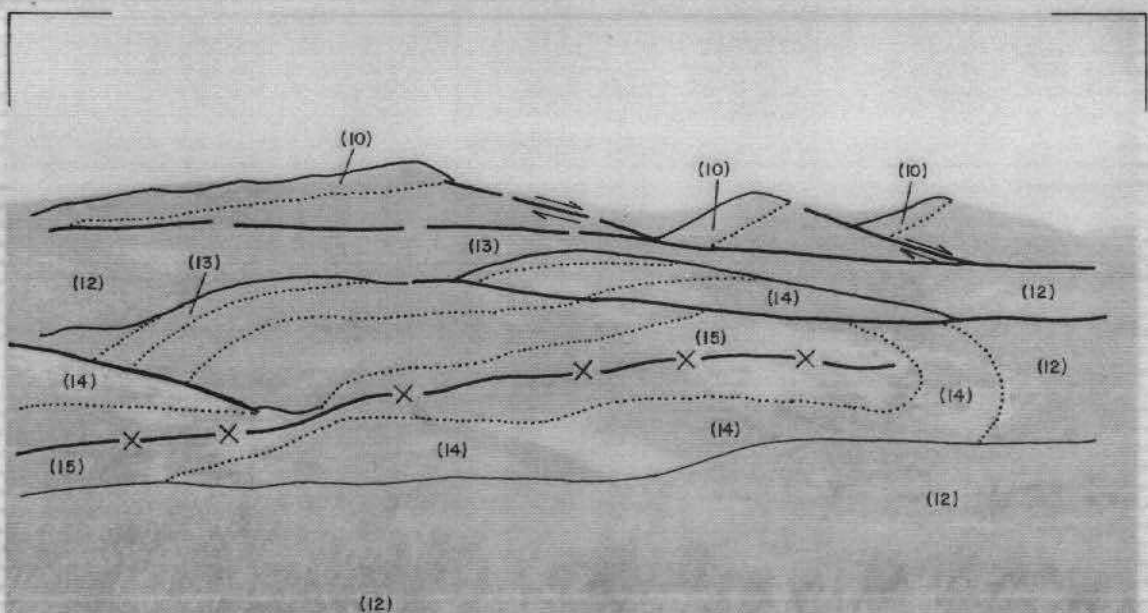
13-27-IB-9636-FN.- Pliegues con inmersión hacia el Sur en pizarras (3).



13-IB  
9636



13-27-IB-9638-FN.- Cuarcitas del Caradoc (14); pliegue casi isopaco donde se observa la disarmonia progresiva, resolviéndose el pliegue mediante fractura de charnela hacia la parte superior y central del pliegue.



13-27-IB-9639-FN.- Cierre periclinal a nivel de cuarcitas del Caradoc (14) en el sinclinal de Sta Lucía; al fondo las cuarcitas armoricanas (10) del flanco SW. desplazadas por fracturas.

IB/FN  
9639



13-27-IB-9640-FN.- Panorámica de la penillanura Precámbrica del Gran Anticlinario Centro - Extremeño, sobre la que destacan topográficamente más altas las rañas (26); en 1<sup>er</sup> plano y a la izda. cuarcitas del Cámbrico (9) recubiertas parcialmente por derrubios.

IB/FN  
9640



13-27-IB-9641-FN.- Panorámica de la penillanura precámbrica, al fondo los relieves origina dos por los bloques tectónicos de Madroñera y Garciaz.

IB/FN  
9641



13-27-IB-9642-FN.- Anticinal de Robledollano y Sinclinal de Viejas, flanqueado por cuarcita armónica (10); el relieve que destaca dentro del anticinal corresponde al sinclinal de micro-conglomerados y areniscas (7) de la Unidad Superior (6) Precámbrica.

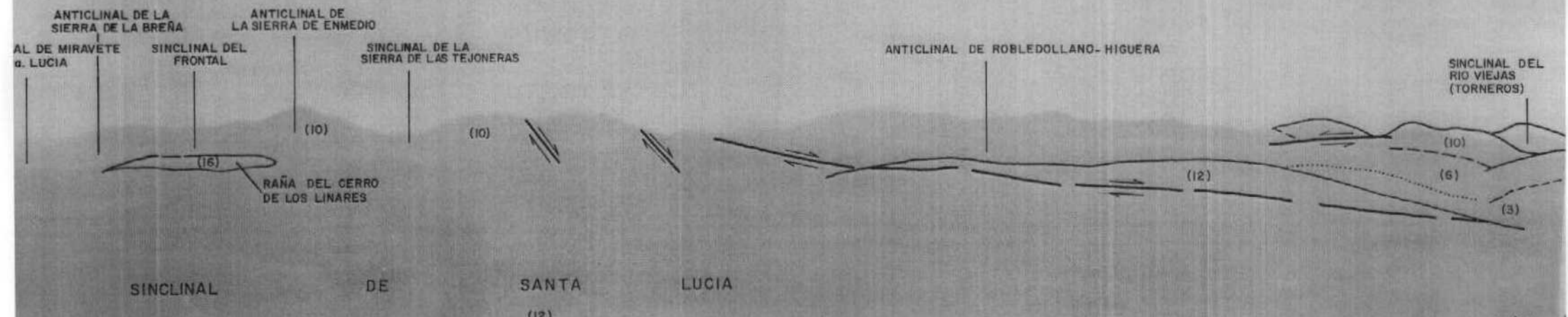


13-27-IB-9643-FN.- Aspecto de la periferia del batolito de Trujillo, destacando pequeños berrocales.



13-27-IB-9644-FN.- Sondeo de investigación minera realizado por el IGME en el Grupo Minero San Roque.

IB/FN  
9644



Ciones pericliniales del extremo NW. del sincinal de Sta Lucía; a la dcha. el anticlinal de Robledollano.

IB/FN  
9645